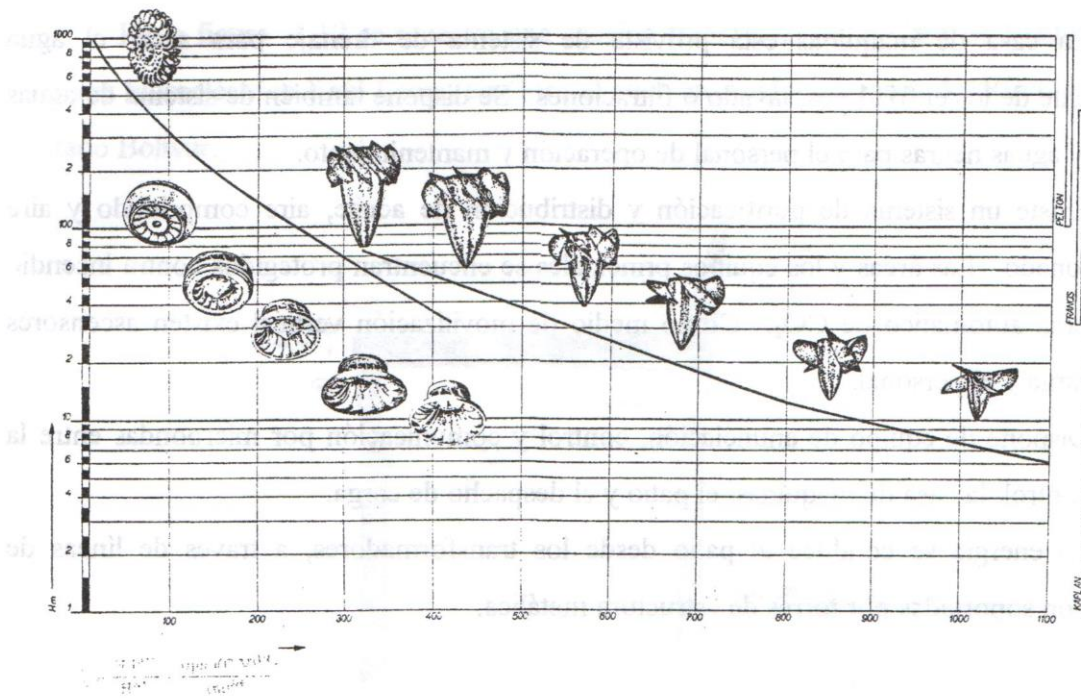


Fig. 2.10: Curvas para Determinar la Profundidad del Sedimento en el Dique. (Aguirre,1980).



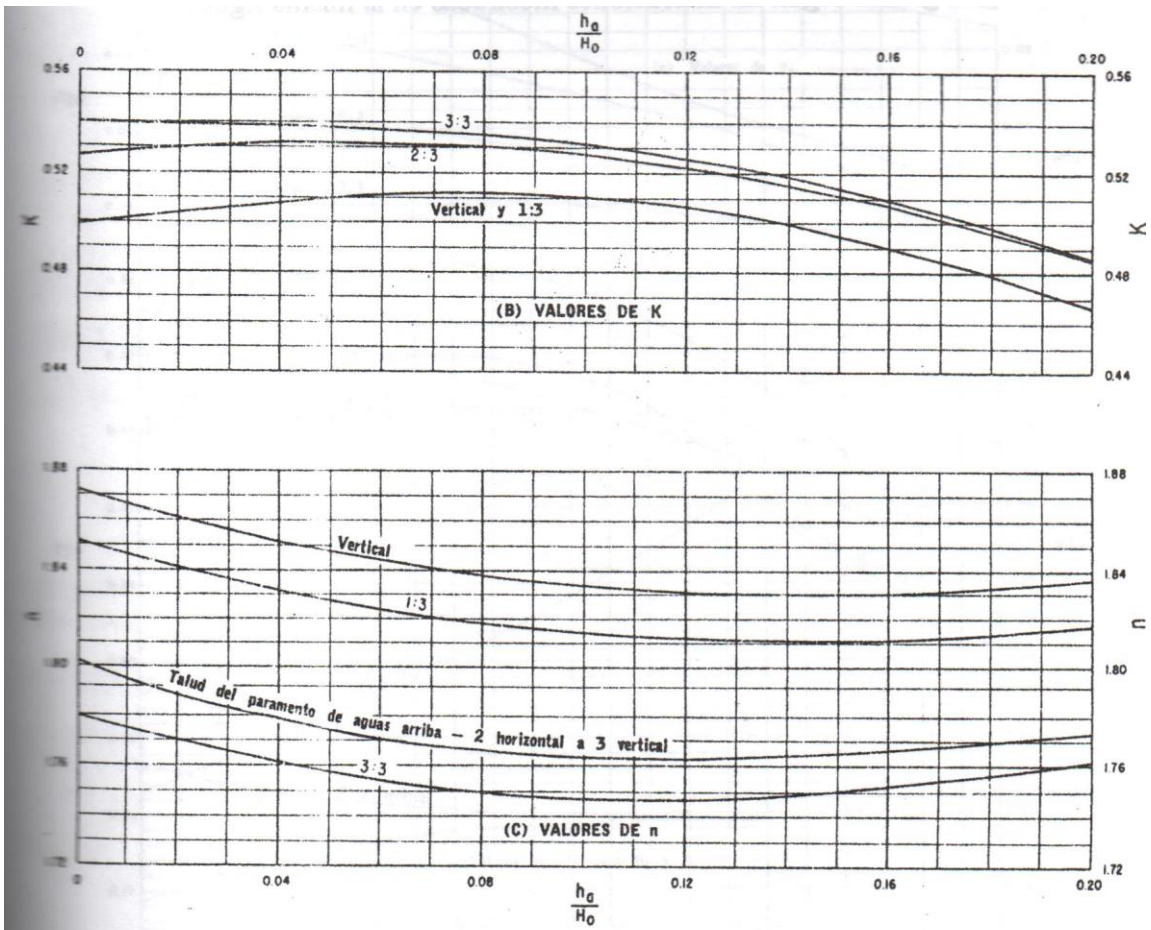


Fig. 2.26 Coeficientes k y n vs (h_a / H_0) para diferentes taludes.

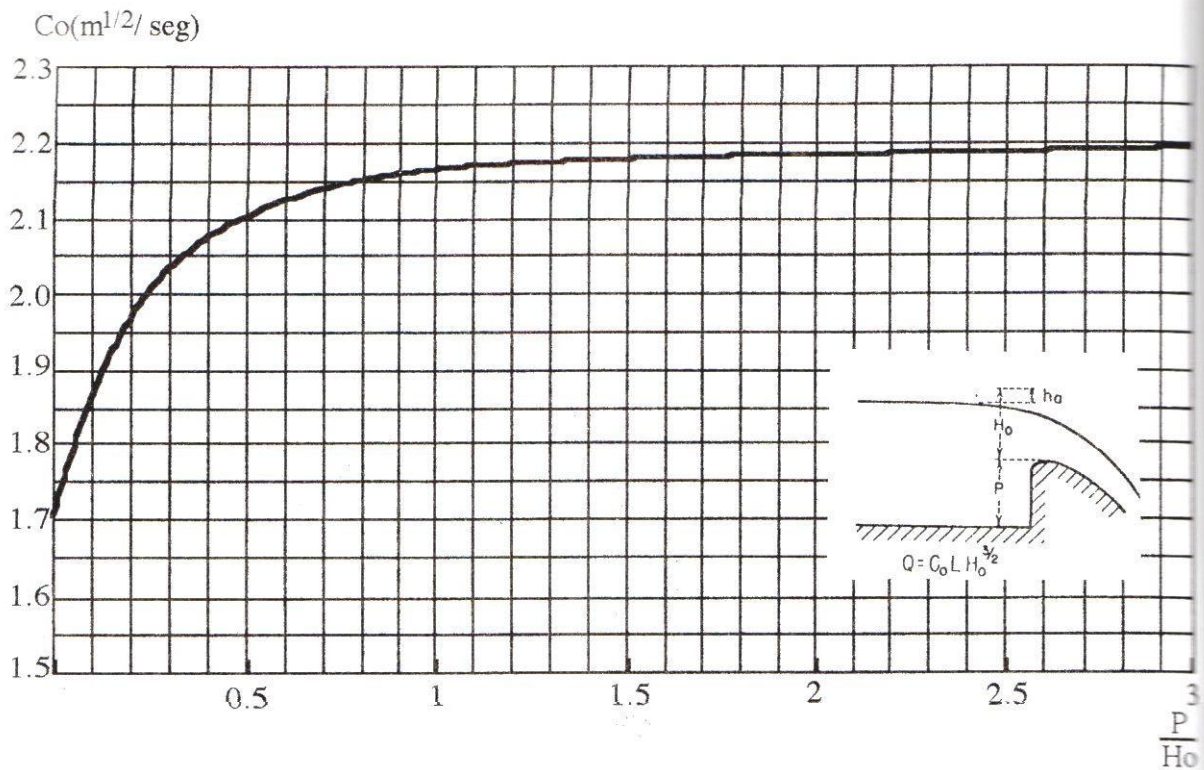


Fig. 2.28 Coeficientes de descarga $C_o(m^{1/2}/seg)$ para cimacio con paramento vertical.

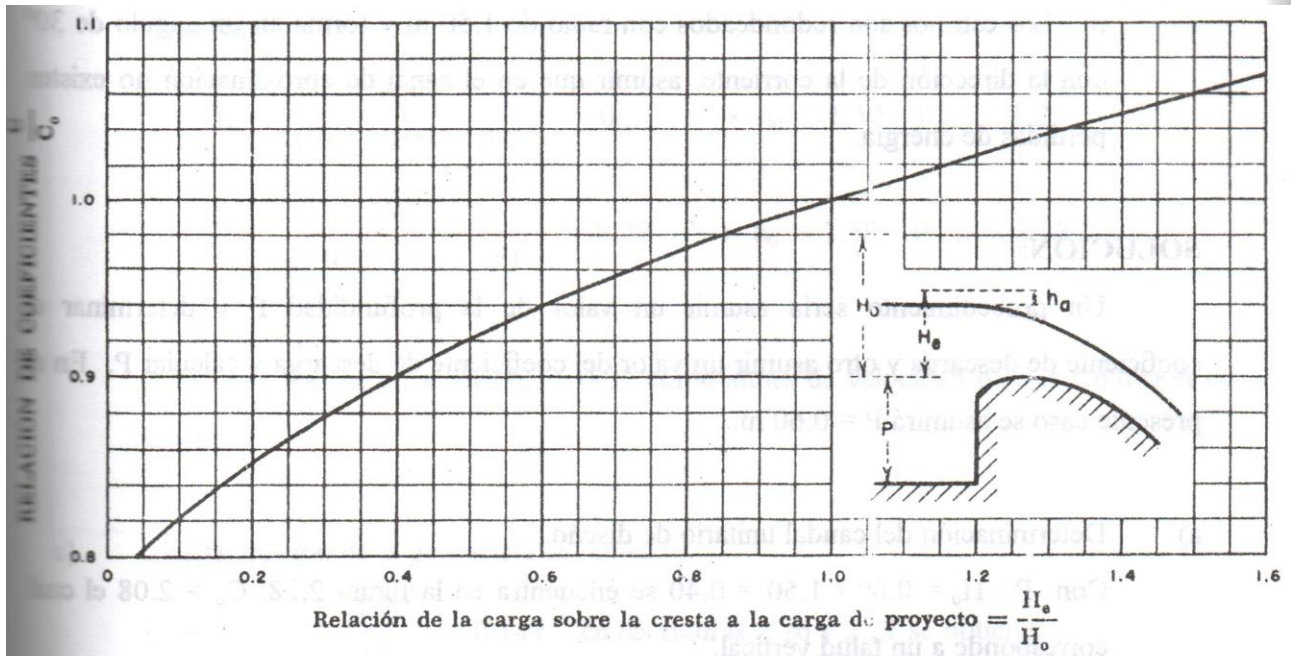


Fig. 2.30 Coeficientes de descarga para cargas diferentes a la de proyecto.

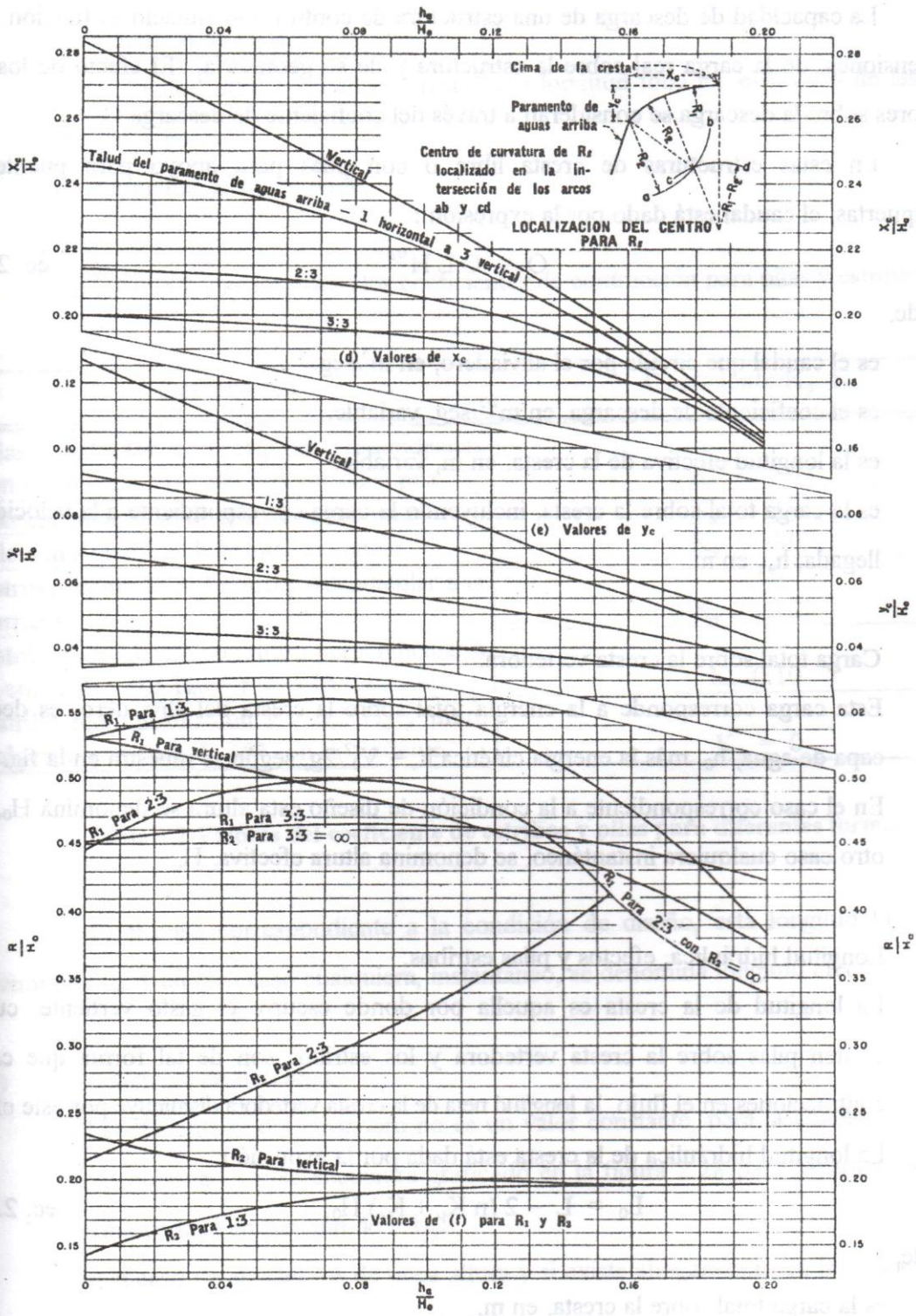


Fig. 2.27 Factores para determinar la forma geométrica del aliviadero.

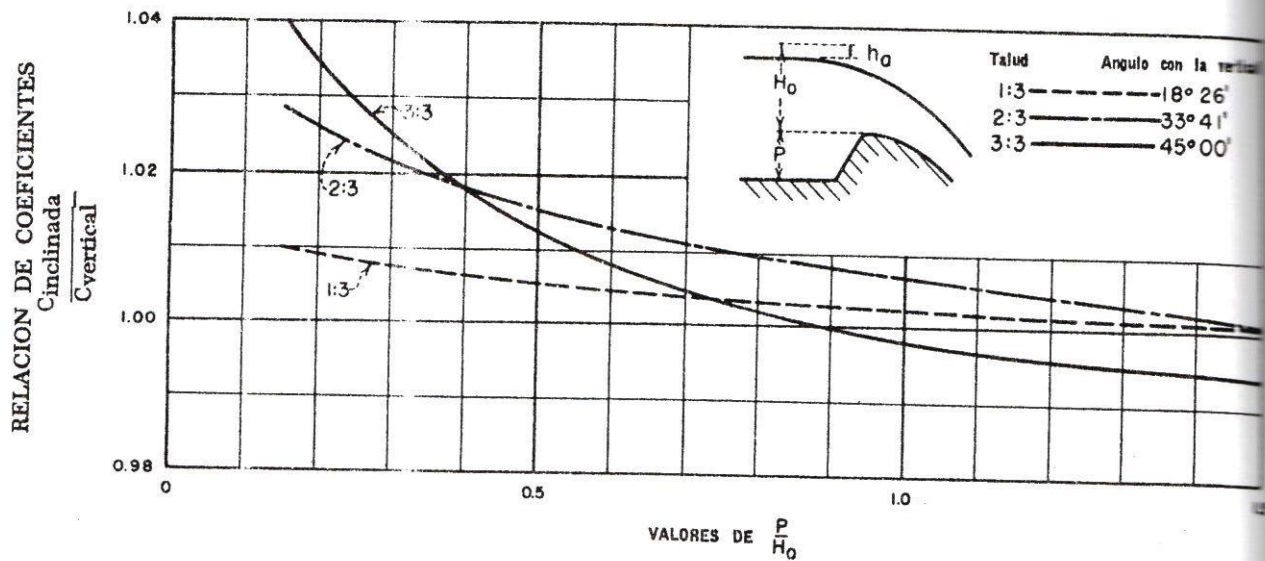


Fig. 2.29 Factor de corrección del coeficiente C_0 para diferentes taludes de aguas arriba.

VERTEDORES DE DEMASIAS

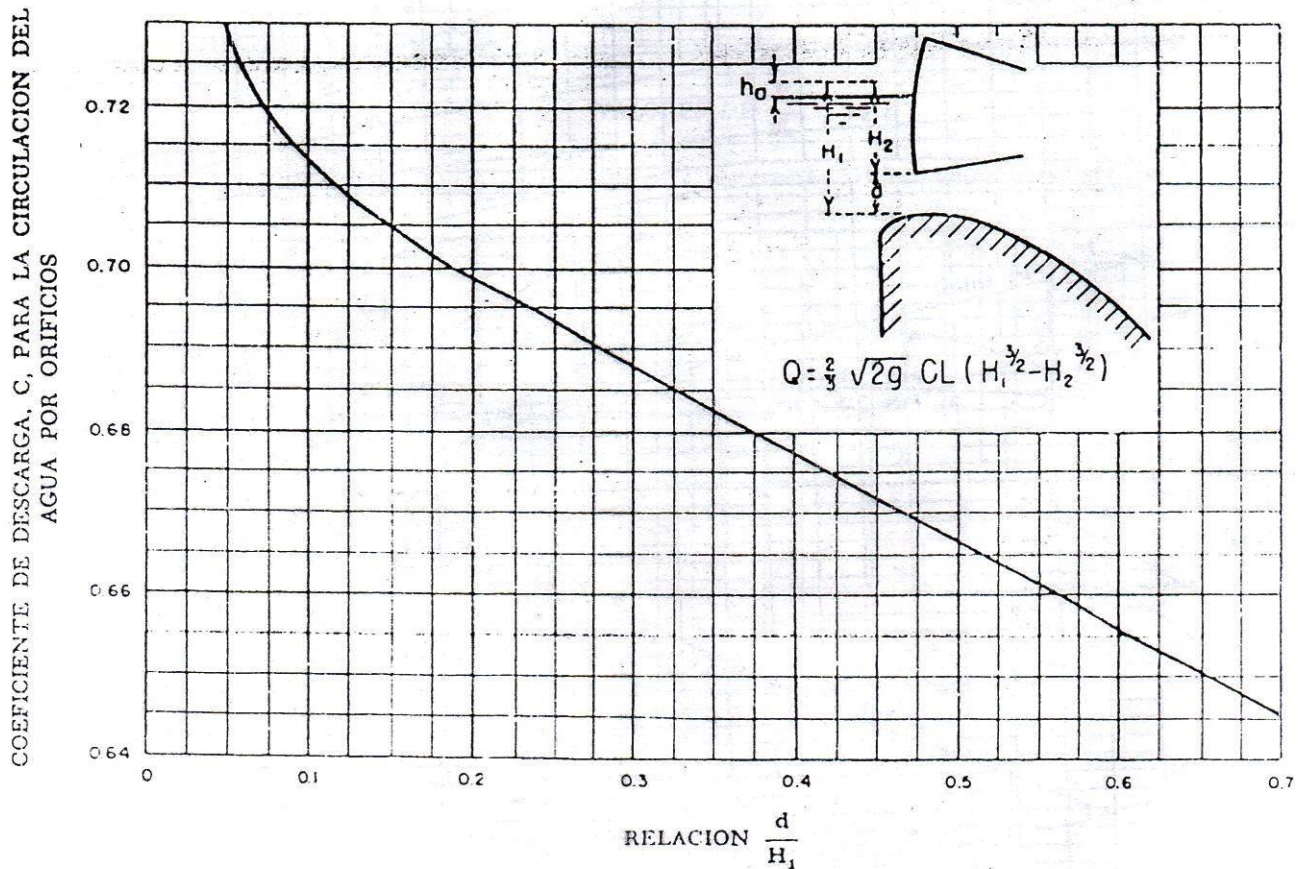
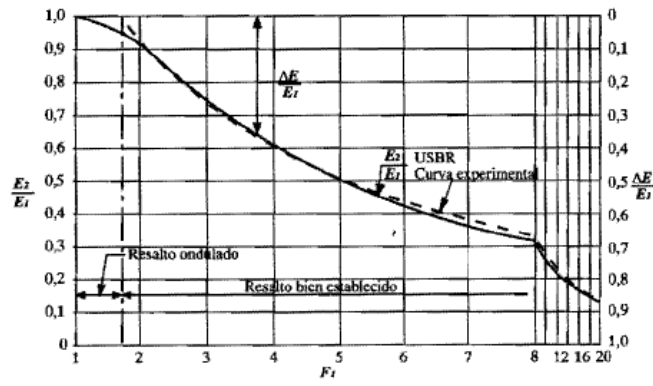


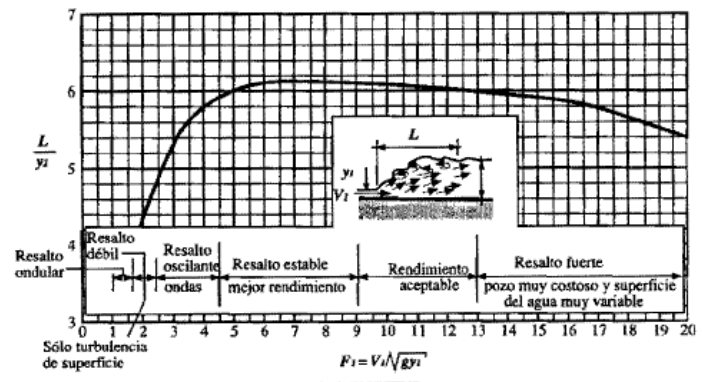
Fig.- 2-11 Coeficiente de descarga para la circulación del agua bajo las compuertas

Tabla 2.2. Valores del coeficiente de estribos y pilas para diferentes formas

Descripción	Coeficiente K_p , K_e
Pilas cuadradas con esquinas redondeadas con radio igual a 0,1 del espesor de la pila	$K_p = 0,02$
Pila con superficie de ataque redondeada	$K_p = 0,01$
Pila con superficie de ataque triangular	$K_p = 0$
Estribo cuadrado con muro perpendicular a la corriente	$K_e = 0,20$
Estribo redondeado con muro perpendicular a la corriente y $0,5H_0 \geq r \geq 0,15H_0$	$K_e = 0,10$
Estribo redondeado con $r > 0,5H_0$ y muro colocado a menos de 45° con la corriente	$K_e = 0$



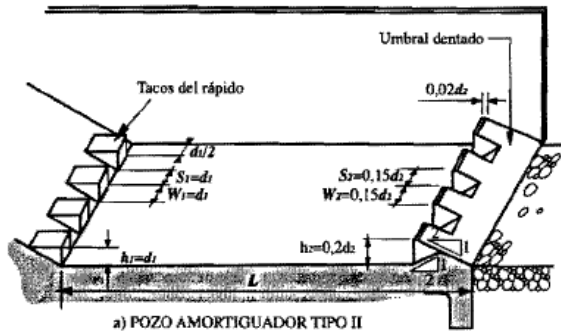
a) PERDIDA DE ENERGIA



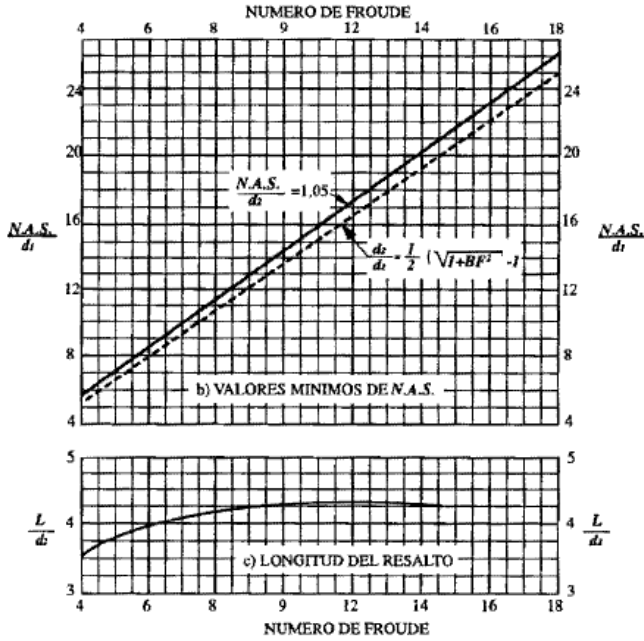
b) LONGITUD

Fuente: U.S. Bureau of Reclamation

Figura 7.60
Características principales del resalto
hidráulico en lechos horizontales

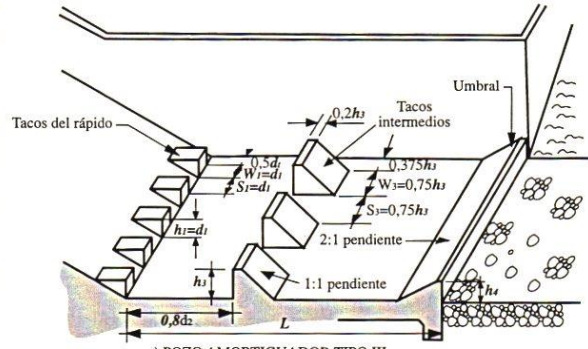


a) POZO AMORTIGUADOR TIPO II

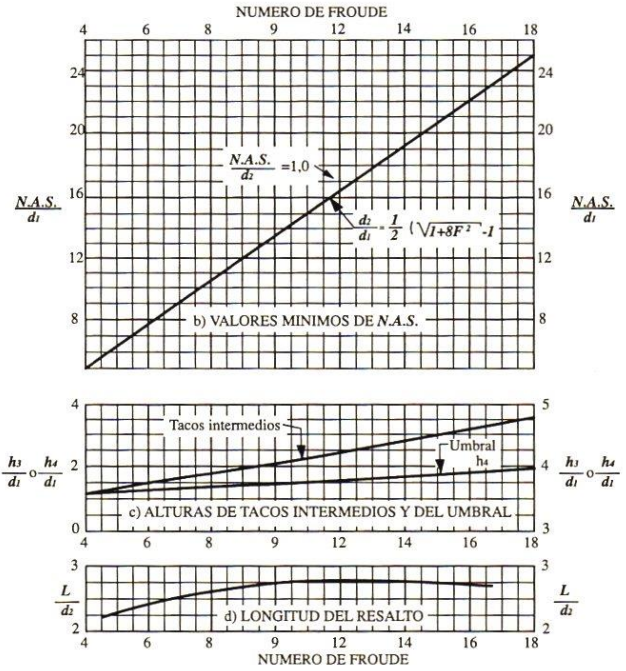


Fuente: Referencia (14)

Figura 7.61
Pozo amortiguador Tipo II - Números de Froude mayores de 4,5

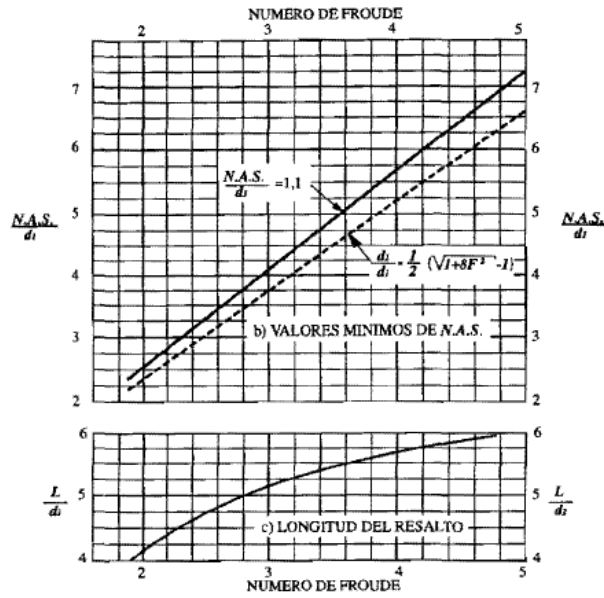
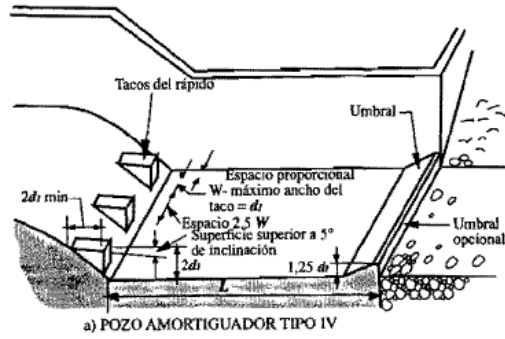


a) POZO AMORTIGUADOR TIPO III



Fuente: Referencia (14)

Figura 7.62
Pozo amortiguador Tipo III - Números de Froude mayores de 4,5 y velocidades (V_1) inferiores a 15 m/seg



Fuente: Referencia (14)

Figura 7.63
 Pozo amortiguador Tipo IV - Números de Froude entre 2,5 y 4,5